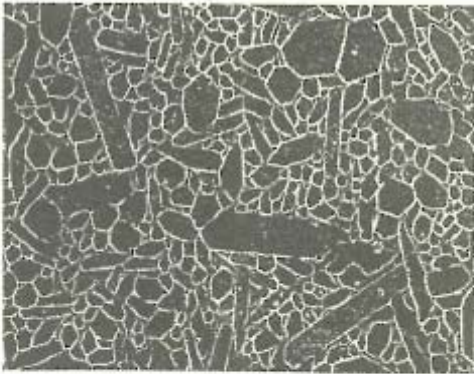


対応刷数	頁	行数, 図・表・式番号	誤	正
1	39	図 2	<p>右のように修正 (5 か所)</p> <p>(誤) (正)</p> <p>摩擦 → 摩碎</p>	<p>振動ボールミル (衝撃ときに摩碎)</p> <p>塔式粉砕機・湿式 (摩碎・衝撃)</p> <p>ボールミル (衝撃ときには摩碎)</p> <p>コニカルボールミル (横断面)</p> <p>エッジランナー (摩碎・剪断)</p> <p>ひき臼 (剪断)</p> <p>乳鉢 (摩碎)</p> <p>媒体式</p> <p>その他</p>
1	42	下から 3 行目	…図 2 に示す気流式の超粉砕機…	…図 2 に示す気流式の超微粉砕機…
1	44	図 3	<p>右のように修正</p> <p>(誤) (正)</p> <p>左 R_F → R_F'</p> <p>右 R_F' → R_F'</p>	<p>フィード Q_F, R_F</p> <p>循環比 $Cl = Q_{Cl}/Q_F$</p> <p>(a) ミル前置式 (ミル-スクリーン式)</p> <p>(b) ミル後置式 (スクリーン-ミル式)</p>

1	47	図 1	<p>右のように修正</p> <p>(誤) (正)</p> <p>左上 振動ミル → 振動ミル (円振動の場合)</p> <p>中 $\omega_S = 2\pi N$ → $\omega_S = 2\pi N_S$</p> <p>右 (2か所) γ_S → r_S</p>	<p>容器駆動</p> <p>振動ミル (円振動の場合)</p> <p>$\omega_v = 2\pi f$</p> <p>媒体攪拌式</p> <p>媒体攪拌ミル</p> <p>r_S $\omega_S = 2\pi N_S$</p> <p>$a_{SM} = r_S \omega_S^2$ $= r_S \left(\frac{2\pi N_S}{60} \right)^2$</p> <p>$N_S$: 回転数 (rpm)</p>
1	47	1行目	き, 粉砕速度は…	粉砕速度は…
1	48	図 2	図 2 代表的な微粉砕機・超微粉砕機の形式による分類	図 2 媒体式粉砕機を用いた湿式粉砕に影響を及ぼす主な因子
1	48	図 2	<p>右のように修正</p> <p>(誤) (正)</p> <p>左 *破壊靱度 → *破壊靱性</p> <p>右 スラリー濃度 C_s → スラリー濃度 C_s</p>	<p>物理化学的因子</p> <p>分散性 *粒度 *沈降体積</p> <p>砕料強度 *破壊強度 *破壊靱性 *硬度</p> <p>スラリー</p> <p>スラリー濃度 C_s (固体濃度)</p>
1	48	図 4	図 4 湿式粉砕における・・・粉砕製品の平均粒径 $X_{50,3}$ その関係	図 4 湿式粉砕における・・・粉砕製品の平均粒径 $X_{50,3}$ の関係
1	49	下から 5行目	…粒子を用いて原料強度を小さくして…	…粒子を用いて原料粒子の破壊強度を小さくして…
1	202	8行目	…直方体の三辺の比を…	…直方体の各辺の比を…
1	232	7行目	…新しい機能が発現することが…	…新しい機能を発現することが…
1	235	2行目	…パッケージ用の Al_2O_3 は, …	…パッケージ用の Al_2O_3 では, …
1	235	3行目	…②低コスト化, …	…②低コスト, …
1	235	7行目	…成形法として, 一般に…	…成形法としては, 一般に…
1	235	13行目	1) 窒化ケイ素	削除

1	235	17行目	…物性のためにアルミナとはまったく異なる…	…物性のために <u>Al₂O₃</u> とはまったく異なる…
1	236	図4の隣	右図を追加	 <p>1 μm</p> <p>図5 Si₃N₄-Y₂O₃-Al₂O₃系統結体の微構造：構成相はSiAlONと粒界相からなり、白い部分が粒界相である。主相のSiAlONは柱状を呈するが、3次元的に配向しているので2次元的には六角粒状に見えるものが多い</p>
1	236	3行目	…緻密化条件の最適化などの研究が…	…緻密化条件の最適化など)の研究が…
1	236	8行目	…Break down 法による場合は粉碎によって新たに	…Break down 法 (粉碎法) による場合は新たに
1	236	13行目	…成形体を焼成すると 1,400℃で	…成形体を焼成すると 1,400℃前後で
1	236	下から5行目	…最終的には図3のような…	…最終的には図5のような…
1	236	下から2行目	…燃結体の微構造の構成は、	…燃結体の微構造は、
1	236 237	最下行～1行目	…の粒界相からなるので、結晶粒の形態と大きさおよび粒界相構成成分中の O/N 比によって特性が変化するが、柱状粒	…の粒界相から構成されるので、柱状粒
1	237	図5	図5 Si ₃ N ₄ ベアリングボールの製造プロセス例	図6 Si ₃ N ₄ ベアリングボールの製造プロセス例
1	237	2行目	…図5にSi ₃ N ₄ ベアリン	…図6にSi ₃ N ₄ ベアリン
1	237	7行目	高熱熱伝導材として使用する場合は、Si ₃ N ₄ に Al, O が固溶すると…	高熱熱伝導材として使用する場合は、Si ₃ N ₄ に Al, O が固溶して SiAlON 化すると…

1	240	図 2	右のように修正	 <p data-bbox="1288 295 1937 327">図 2 粉碎法による一般的なトナー製造システムの例</p>
---	-----	-----	---------	---

2014.2 作成